

第57圖は500°Cに焼いたもので、外側は Fe_2O_3 、内部は輝銅礦で、その中には $CuSO_4$ を相當混合してゐる。

第58圖は同じく昭和IVを700°Cに焙燒したもので、主として Fe_2O_3 より成るが、その中に黒の $CuFe_2O_4$ が散在して居る。この溫度では未だ $CuFe_2O_4$ の生成が盛で無い爲に、或る箇所に凝集する様なことが見られない。

第59圖は900°Cに焙燒したもので、大部分 Fe_2O_3 、小白點は $Fe_{n}S_{n+1}$ 黒は $CuFe_2O_4$ である。

第60圖は斑銅礦がある試料のため取り出したもので、550°Cに焙燒した硫酸滓IVで、左の方の黒いのがそれで、輝いた Cu_2S の中にある。他は Fe_2O_3 で FeS が少し混入して居るのが見える。圓い小白點は未分解の FeS_2 である。

第61圖は昭和IVを750°Cに焙燒し、その磁性部分で黒の塊及び外壁に近い黒は $CuFe_2O_4$ 、輝く白點は磁硫鐵礦、小白點は殘留 FeS_2 、薄黒は FeS (中程度の黒のもので餘り澤山は無い)。その他は Fe_2O_3 である。

第62圖は同じ試料の別の部分で、薄黒は Fe_2O_3 、黒は $CuFe_2O_4$ 、黒に周りを圍まれてるのは Fe_2O_3 で、人工の $CuFe_2O_4$ と同じ傾向を持つてゐる。

第63圖同じ試料の $CuFe_2O_4$ と Fe_2O_3 の部分を撮つたもので、黒の $CuFe_2O_4$ の中には小白點がある。それは Fe_2O_3 で CuO も多少混じて居る様に見え、人工的のものによく似てゐる。又周りを圍まれてゐる Fe_2O_3 も見える。

IX. 結論

硫酸滓及びその成分を成す諸化合物及び礦物の焙燒中に

起る變化を調べ次の結論を得た。

- 1) 16種の硫酸滓成分を熱天秤で焙燒すれば、その各々が異つた曲線を示し、變化の経路を知り得る。
- 2) 各成分を焙燒し100°C毎に検鏡すれば、焼滓の焙燒中に起る變化も推定し得る。
- 3) 黃鐵礦、黃銅礦、硫酸滓を焙燒する時、著しき磁性の變化がある。
- 4) 硫酸滓を焙燒すると水溶銅は550°C酸溶銅は600°Cが最大にして、良く基礎實驗と一致する。
- 5) 热天秤に依る基礎焙燒曲線から硫酸滓の焙燒曲線を見ると、その性質及び成分の概要を知り得る。

以上本實驗を行ふに際し、種々御教示を頂いた當學佐藤教授に對し感謝の意を表し、實驗に助力せられたる當學助手レベデフオルグ君、本溪湖煤鐵公司苗德權君の勞を多とする。

引用文獻

- 1) 小川芳樹：日本礦業會，46(昭5)515。
- 2) 石原富松：岩波講座、地質礦物學 閃亞鉛礦及び類似礦物の焙燒的性質 25頁。
- 3) 森棟隆弘：磁硫鐵礦利用に關する研究(I)鐵と鋼、昭17(28)14頁。
- 4) 森棟隆弘：硫酸滓に關する研究(II)鐵と鋼、昭和16、732頁。
- 5) 森棟隆弘：同上、741頁。
- 6) 木村唯助：カーネルの焙燒に就て、礦業會誌、48(昭7)1275頁。
- 7) 久島亥三雄：含銅硫化鐵礦燒滓處理に關する化學反應に就て(III)、採治月報、昭12(15)、60頁。

製銑用新型電氣高爐の設計及び操業に就て

林 達夫*

I. 緒言

銑鐵は古くから鎔鑄爐で製造せられ、長年の經驗により極めて安價に造られる。

電氣銑鐵は鎔鑄爐銑鐵と競争するには、コークスに比し、餘りにも高價な電力と電極を必要として、經濟的に成立せず、一般に顧みられない状態であつた。

* 大同製鋼會社 The synopsis to this article is on p. 26

多年輸入屑鐵に依存してゐた我國製鋼業者が、最近の重大局面に直面し、鑄石法に基く銑鋼一貫作業を採用せんとするも、今遽かに大規模な鎔鑄爐を設置する事は容易でない。然るに電氣製銑法による銑鐵は、比較的小資本で手軽に得られ、然もその成分が低炭素、低珪素で低磷、低硫黄特に電氣製鋼用として好適である。従つて電氣製銑法は、現下の我國の要求に適應し、その優秀性は漸く一般の注目する處となつた。即ち我國電氣製銑法は、屑鐵に代るに低

炭素、低珪素、低磷、低硫黄の銑鐵を鑛石から小規模に製造出来る點と、我國の重大問題たるコークス消費量少しき點に工業的價値を有してゐる。この爲に少なからざる電力費（電力料金と電極費）をも、敢て消費してゐるのである。特に電氣製鋼に於て、炭素及び珪素の多い銑鐵は、築爐材を傷めるのみならず、電極の酸化消耗を著しくし、操業不能に立ち到らしめる事がある。電氣銑鐵は、通常 C 2.5%, Si 0.1% 以下 P, S 共 0.02% 以下にして、全く電氣製鋼用原料としては好適である。

電氣高爐は電氣製銑爐として最も多く使用され、又實用的であると一般に信ぜられてゐるが、吾國に於ては數基建設されたにもかゝらず、失敗に終つた歴史を持つてゐる。これは設計を外國に依存したによると考へられる。本文は電氣高爐を、特に我國の資源に適する如く、飛躍的改良を施した日產 30t 爐の概要である。

II. 一般的特性

電氣高爐の形狀は、名の示す如く高爐、即ち鎔鑛爐に似てゐるが、兩者の間には次の如き差異がある。

1. 鎔鑛爐では、裝入されたコークスが還元剤として働くと同時に、熱源として作用するが、電氣高爐では、電極間の電弧熱を熱源とし、木炭、コークスは單に還元剤としてのみ働く所に、本質的な差異がある。
2. 従つて電氣高爐の木炭、コークスの量は鎔鑛爐の約 1/3 となり、これより入る不純物、特に磷、硫黄の含有量少く、電氣高爐は高級銑の製造に適してゐる。
3. 電氣高爐の發生ガスは、CO を約 60% 含み、且 H₂ 多く、N₂ 少き爲、發熱量は鎔鑛爐ガスの約 3 倍に及ぶ。
4. 電氣高爐は、比較的小規模に適し、溫度の調節及び作業は中止が容易に出来るが、鎔鑛爐では總てこの逆である。

次に電氣高爐の設計に際し、普通の電氣弧光爐と異つた考慮を拂ふべき點に就て述べる。

1. 電氣高爐は、密閉式の精錬室に高い圓筒部（シャフト）を取り付、鑛石の豫熱をなさしめるが、この時シャフト内の裝入物の間隙が閉塞され易い。
2. 電極は傾斜して挿入せられ、然もこれにシャフト内の裝入物の重壓が、絶えず加はる爲折損し易い。
3. 鎔鑛爐と同様に、發生ガスに依る間接還元を促進せしめる爲、高爐ガスを爐頂より取り除塵器、送風機を経て爐蓋下から吹込み、循環せしめ、還元性ガスの分壓を高め

るのであるが、この循環ガスの通路が塵埃に依り閉塞され易い。

4. 電極の數が普通の弧光爐の場合に比し多く、これ等の電氣的接續に考慮を要する。

尙電氣高爐の大きな缺點は、還元剤として木炭を使用すべき事で、木炭の代りに粉コークスを用ひると、シャフト内の裝入物の間隙を閉塞し、懸滯を生じ、操業不能となり且危險である。従つて粉コークスは全還元剤の 20% 程度に制限する必要がある。

木炭が還元剤として良い理由は、次の如くである。

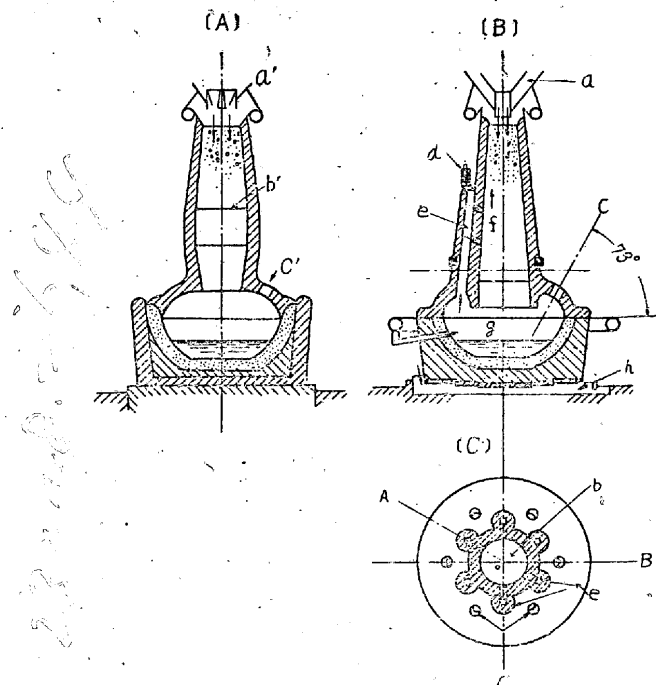
1. 裝入配合物間に間隙を作り、ガスの流通を良くする。
2. 電氣抵抗が大きい。
3. 重量が軽い。
4. 灰分、硫黄及び磷少く、石灰の配合が少くて良い。

III. 改良型電氣高爐の工業的特徴

前述の特性諸條件に對し從來の型と、改良型と比較して次に考察して見る。

1. 発生ガスの閉塞に對して

形態小なる原料、即ち粉鑛、粉炭等を使用する時は CO 及び H₂ を多量に含む高爐ガスが高温の爐内で閉塞され、裝



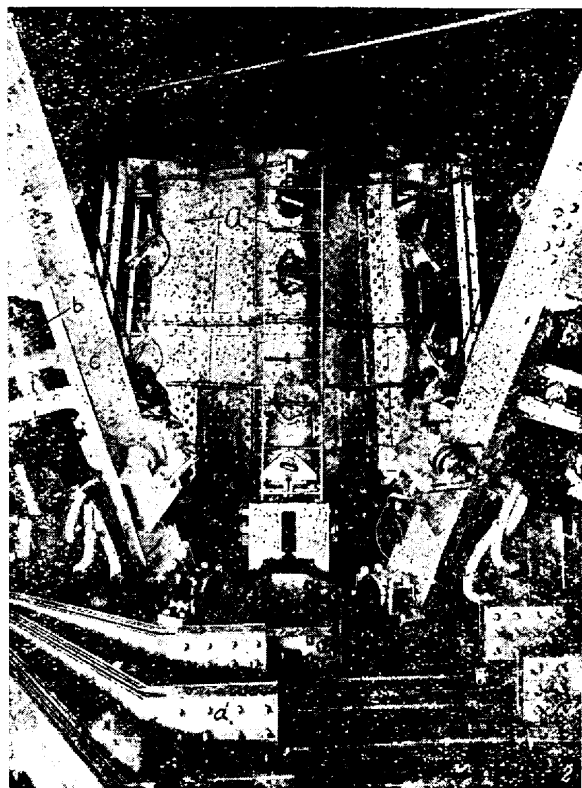
第 1 圖 電氣高爐構造概要圖

[A] 従來型縦断面圖

[B] 改良型縦断面圖 AOB 縦断面圖

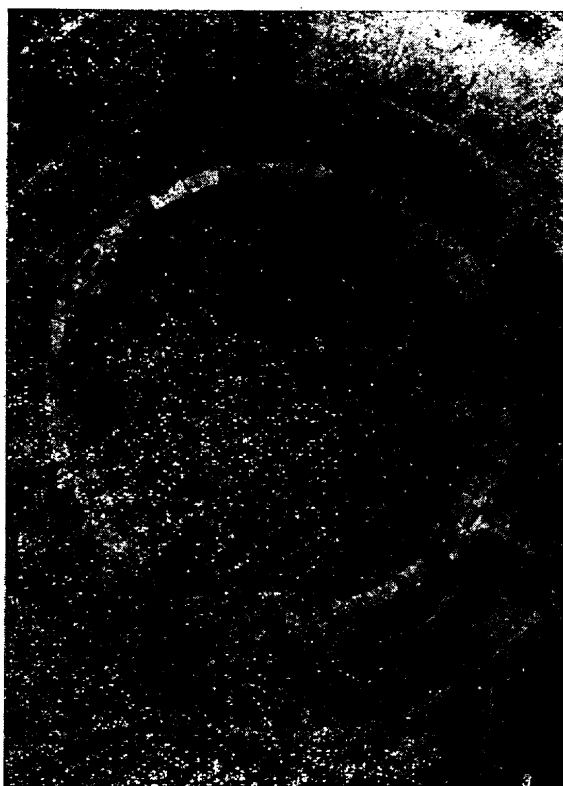
[C] 改良型横断面圖 (シャフト部)

a, a' 裝入口 b, b' シャフト c, c' 電極 d 安全瓣
e バイパス f ガス孔 g 精錬室 h 冷却溝



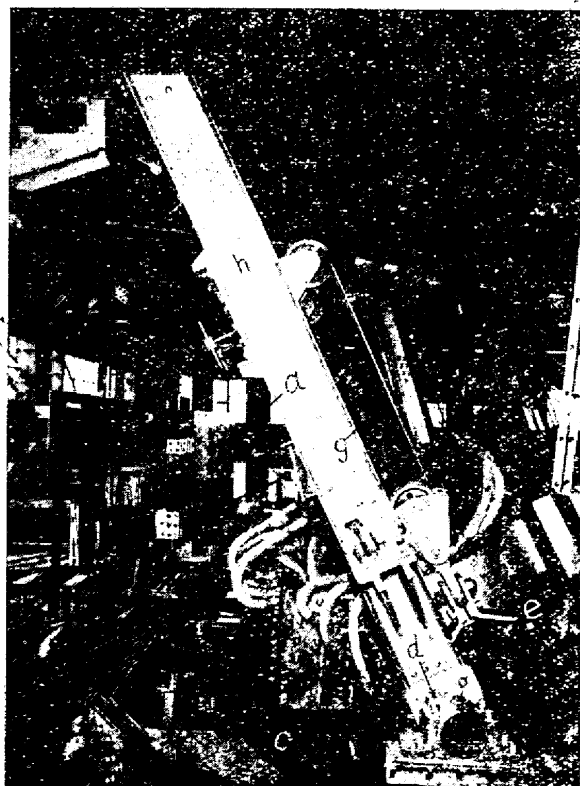
第2圖 下部シャフト（二階）部外觀

a ガスバイパス b 電極 c 電極支柱 d 二次母線



第3圖 シャフト内部圖

a ガス孔 b 爐蓋煉瓦面下



第4圖 電極支持裝置（側面）

a 二次切換開閉器（接續方法決定前） b 二次母線 c 可撓導體 d 支柱軸承 e 電極支持器 f 電極把持器 g 電極 h 電極支柱



第5圖 烧結爐テーブル及迴轉機構

入原料の懸濁を起させ危険である。従つてこの發生ガス及び圧力には細心の注意を要する。

これに對し從來の型に無い新しい考案を試みた。即ちガスの逃げ道として、バイパス、ガスの壓力に對して安全瓣を設けた點である。その概要を示せば、第1圖(B)及び(C)の如く、6本の電極の中間に6個のバイパスを設け、その上方に安全瓣を取付けた。かくする時は、爐内發生ガスは高溫の精鍊室内に閉塞される事無く、バイパスを昇り、ガス孔よりシャフト内に入り、循環する爲、原料の懸滯も起らず安全である。この考案は他に類例を見ない本爐の大きな特徴である。第2圖及び第3圖は、かかる特徴を有するシャフトの外觀及び内部を示す。

2. 電極の傾度及び折損に就て

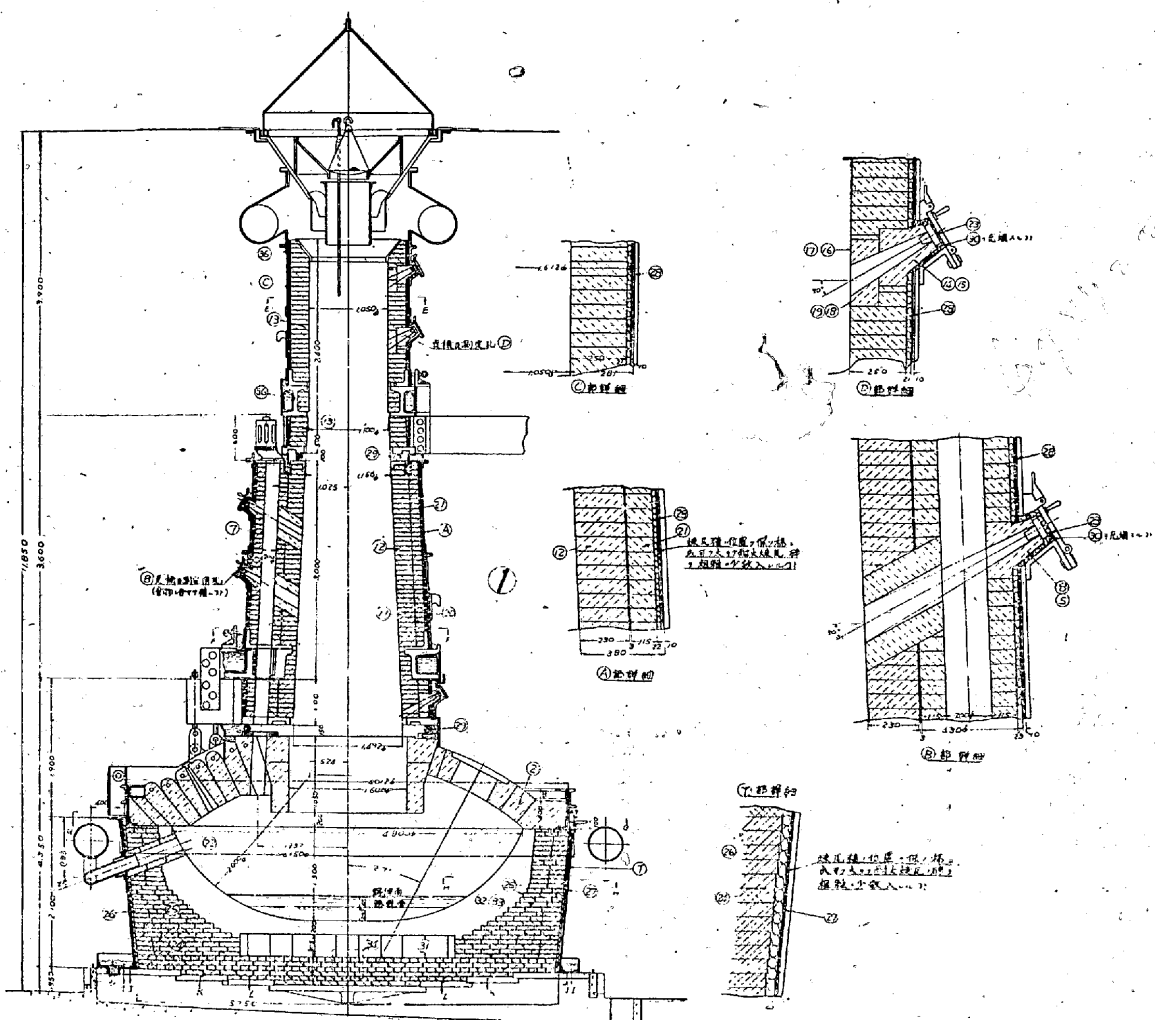
通常電極は、水平に對して約 70 度傾斜して挿入せられ電極及び電力の消費量は電極の傾度に關係する。一般に電極は傾度が垂直に對して大となれば、シャフト内の原料の重壓を受ける事多く、折損し易く、電極消費量は増すが、他

方電極の先端は、中央に集る結果、熱の集約利用に便となり、電力消費量は減少する。従つてこの兩者を考慮して適當の傾度を定める。本爐は電極を通常 73 度傾斜して支持するが、裝入物、その他の條件に應じ、多少傾度を加減變更して使用し得る構造とした。(第 4 圖参照)

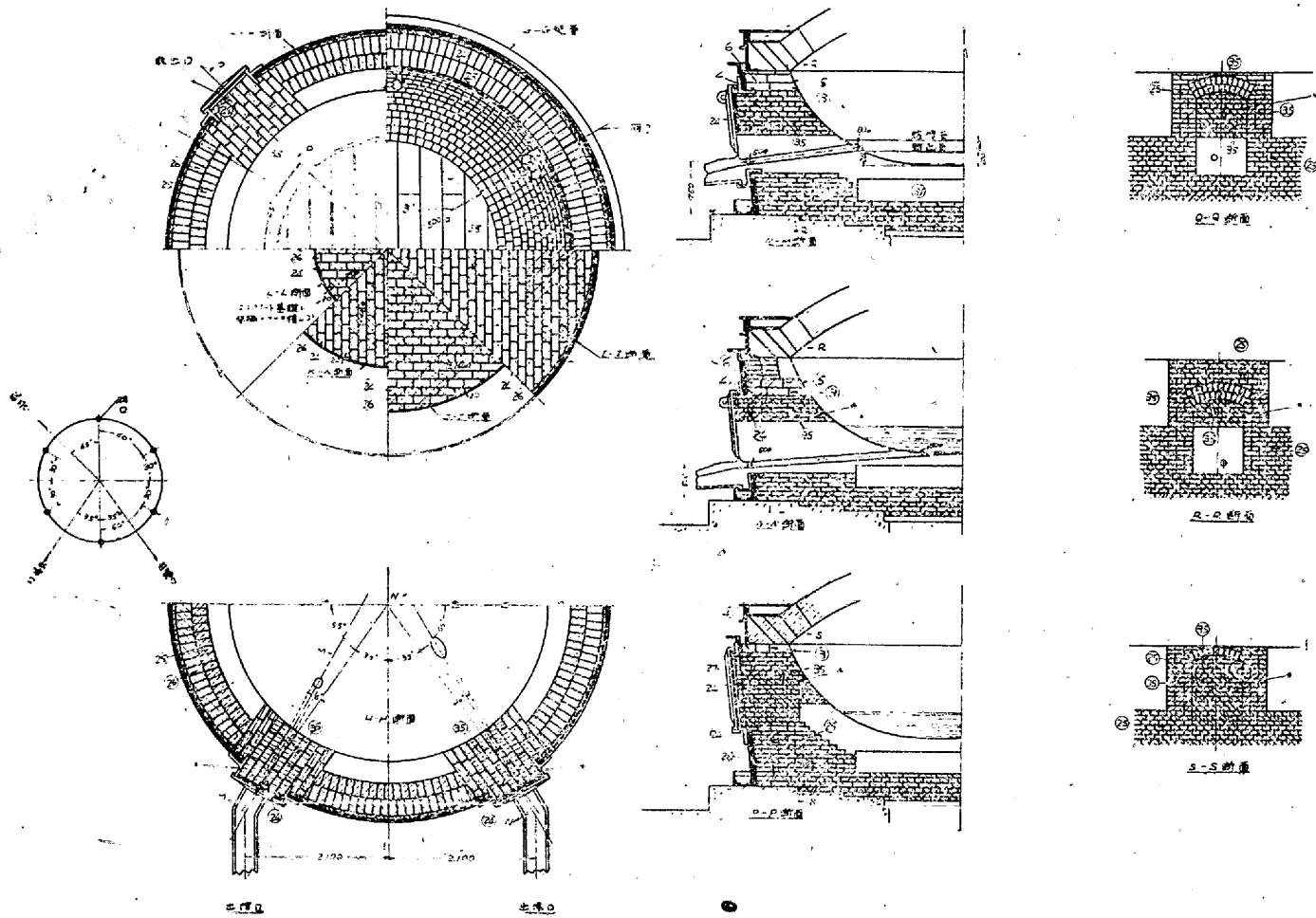
尙電極の折損に對しては、操業に注意を拂ひ、爐内に突出する電極の長さを制限する如き方法を施す必要がある。然し餘り淺く挿入すると、電弧の爲、爐蓋を鎔損させる故この調整には相當技術を要する。

3. 装入原料に就て

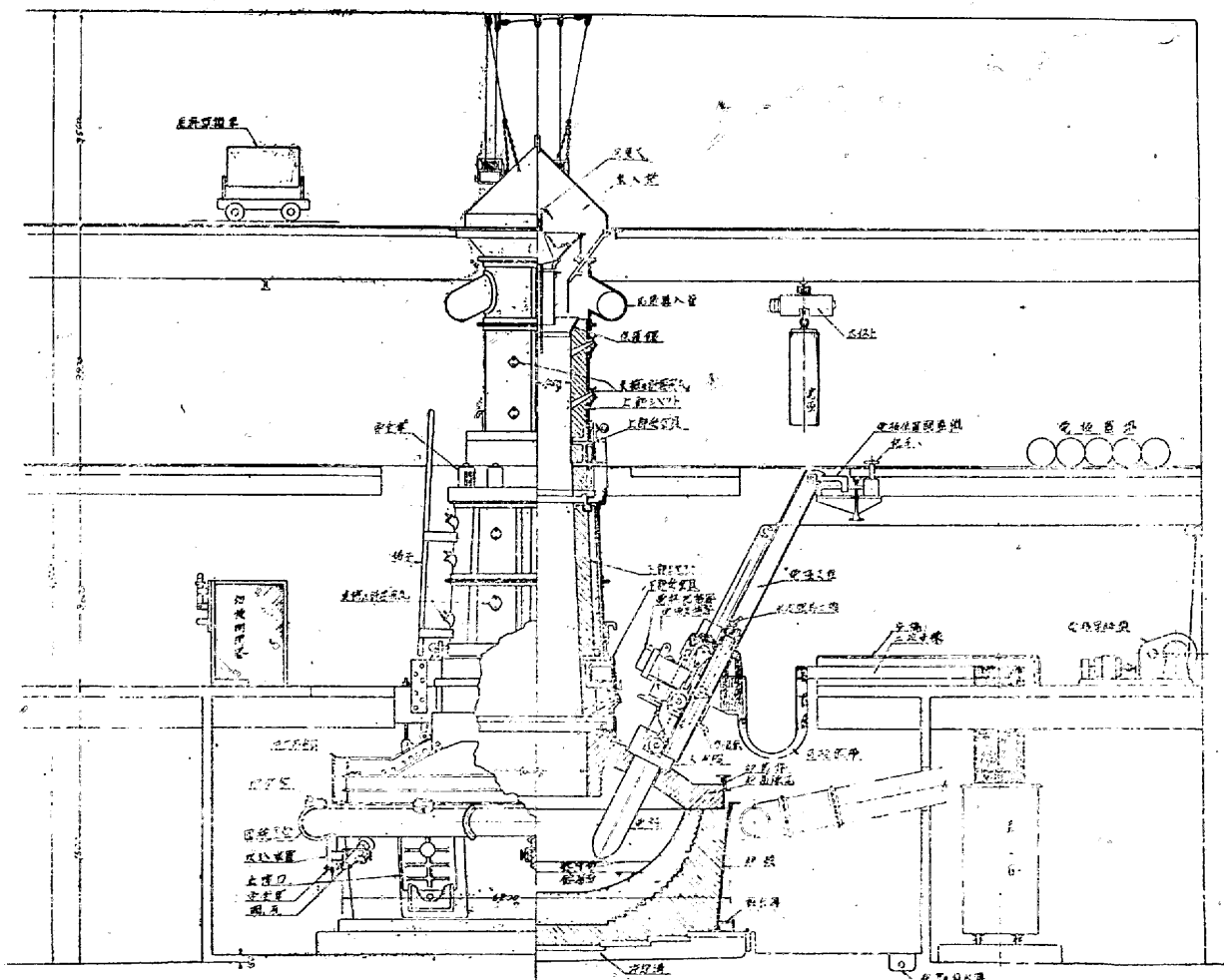
昭和 10 年本邦某工場は自家工場内で生ずる硫酸滓を利
用せんとして、約 3000 kW の電氣高爐で精錬を試みた。
又併せて CO 及 H₂多き高爐ガスを空中窒素固定工業に利
用せんとした。然るに原料として粉状硫酸滓及粉コーカス
を裝入した爲、故障を生じ失敗した。本爐では高爐ガスを
利用して、第 5 圖の如きドワイトロイド形皿形燒結爐を作
り、硫酸滓を適當の大きさの塊に燒結し、これを裝入する



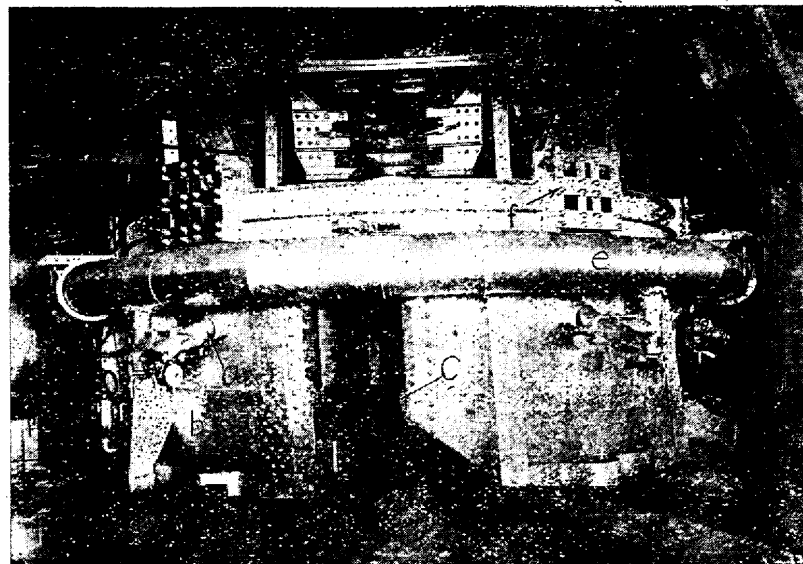
第6圖(1) 爐體煉瓦積の圖



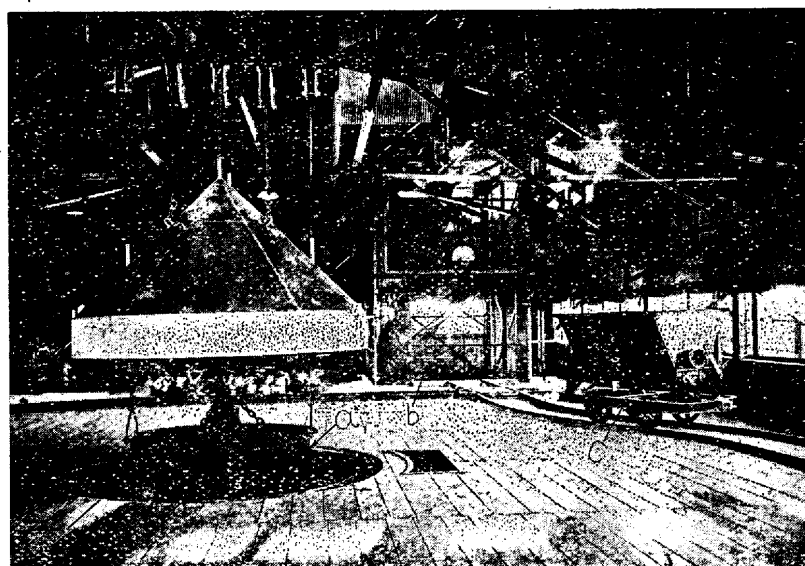
第6圖(2)※印の部分は外廓と關係なく、別個に取壊し又積上げ出来る様に積む



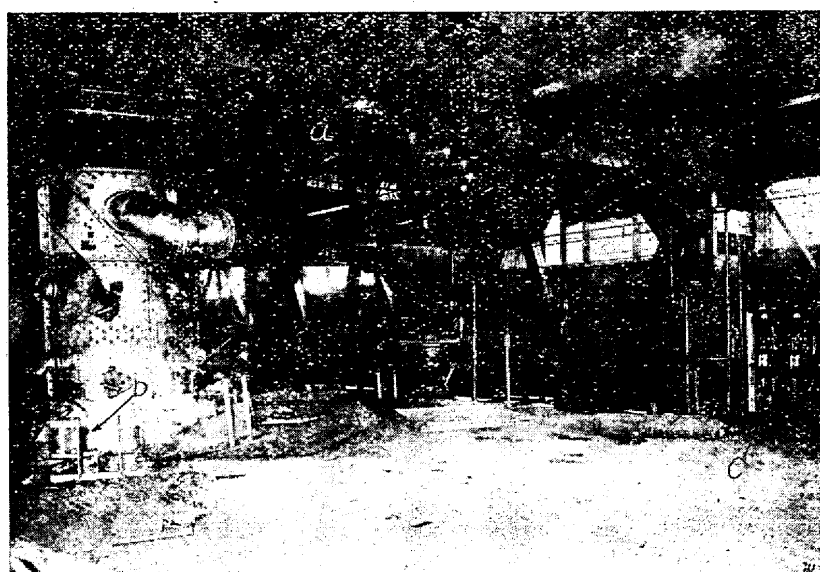
第7圖 改良型電氣高爐組立圖



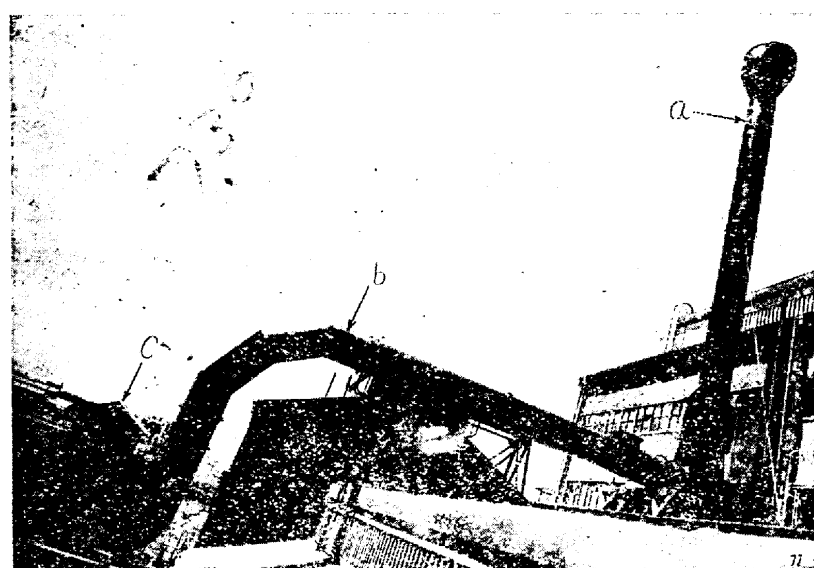
第8圖 爐體下部注出ロ外觀
a ガス吹入口 b 爐蓋 c 出津口 d 注出ロ e ガス導管(圍繞主管) f 爐蓋吊金具



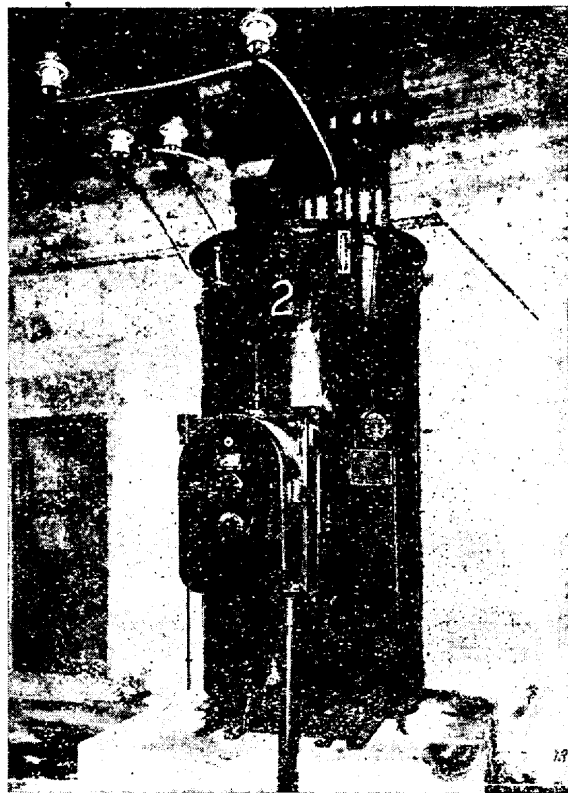
第9圖 原料裝入装置(四階)
a 裝入機 b 原料運搬用昇降機 c 原料運搬車



第10圖 三階 a 電極運搬用トロリー b 上部受金具 c ガス計

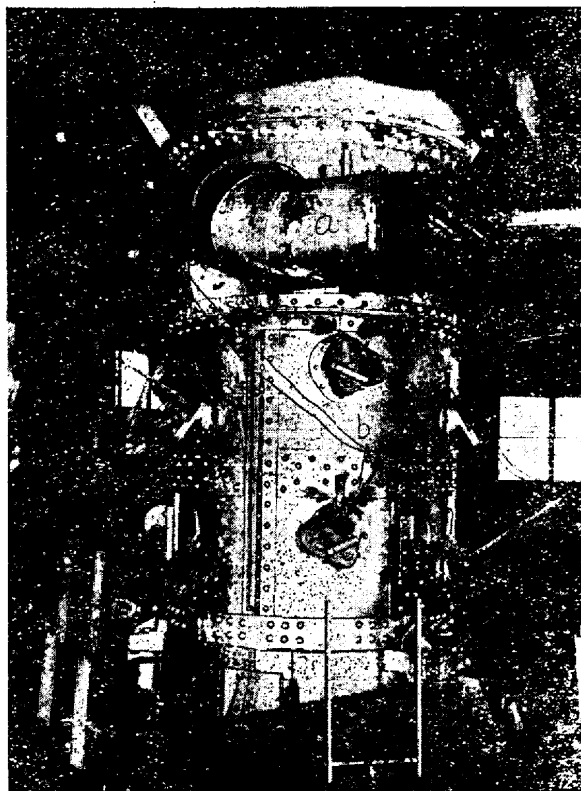


第11圖 二次除塵器 a 煙突 b ガス導管 c 二次除塵器



第13圖 爐用變壓器（3臺中1臺）

單相水冷式 1500 kVA 一次電圧 1 1000 V
二次電圧 200/180/160/140/120/100 V
100/ 90/ 80/ 70/ 60/ 50 V



第12圖 上部シャフト(三階) a ガス導管 b 溫度測定用熱電対

事とした。かくする時は、裝入物間の間隙を閉塞せず、ガスの流通良く、操業成績も良好である。而して、この硫酸滓の原礦は、總て我國に產する黃鐵礦である爲、我國資源に適する所以である。

4. 耐火物に就て

耐火物の性質は、爐の壽命に大なる影響を及ぼす。殊に爐蓋及び爐壁煉瓦には、細心の考慮を拂ひ、連續運轉に適する如く頑丈に設計した。第6圖は本爐の煉瓦積を示す。シャフトの形狀も從來と異り下開きとし、裝入物の懸滯を

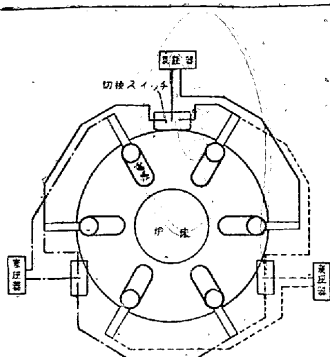
防いだ。尙耐火物の冷却には特に考慮を拂ひ、爐底には放射状の冷却溝を設けた。

かくして完成したる爐全般の構造は、第7圖に示す如くである。第8圖は爐體下部の外觀を示す。適當の大きさに燒結された原料は、四階に上げられ、第9圖に示す如く裝入機に依り自動的に爐内に裝入される。

高爐ガスは爐頂より導管により除塵器、ガスタンク等を経て燒結爐に導く。(第10圖、第11圖参照)又各バイパスには、數個所に點検及計器用孔を設けた。(第12圖参照)電極は昇降機構を二階に設け、補給及び傾度調制は三階で行ふ。爐用變壓器は第13圖の如き 1500kVA 水冷式單相變壓器 3臺を 3 個所に設置した。尙除塵方法は、重大な問題故、3段の除塵器を設け、塵埃に依るガス通路閉塞の絶無を期した。その一部は前掲、第10圖、第11圖に示した如くである。

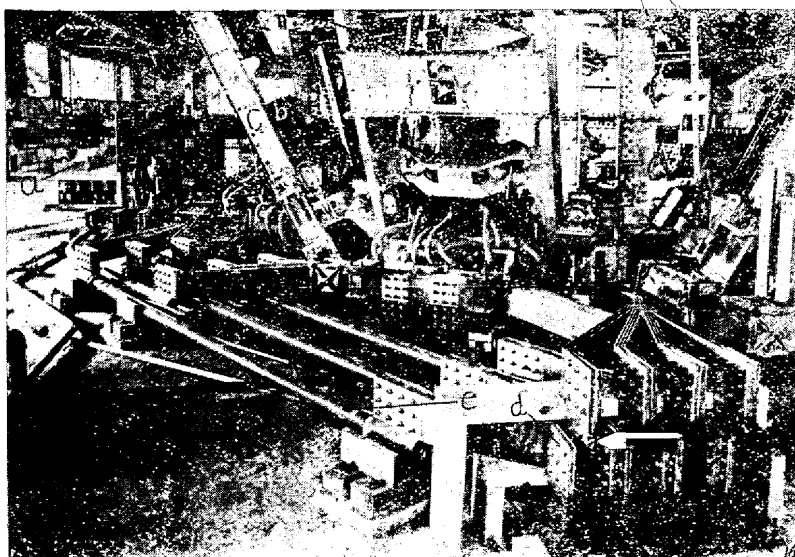
IV. 改良型の電氣的特徴

本爐は 6 本の電極に單相變壓器 3 臺より三相電力を供給するものであるが、この場合電極を、對稱的に接続するには、第14圖の如く、2種の接續が考へられる。今便宜上第14圖(A)(B)の如く、一分の電極を電極圓の中心に



第 15 圖 試験用接続図

對し對稱的に對向させた場合を對向接續、(C) の如く隣合せにした場合を隣接接續と呼ぶ事にする。對向接續の場合(A) の如くすれば、平行部分の導體は自己誘導大きく、從つて電力損失も大となる。今(B) の如く一相の變壓器の極性を逆にすれば、誘導損失は遙かに減少する故、對向接續として(B) を採用し、これを(C) の隣接接續と比較するに、前者では電流は爐内を對角線状に流れ、裝入物の加熱鎔解は均一に行はれ、冶金的、熱的には良好と考へられ、後者では變壓器より電極迄の距離短き爲、電力損失少く、電氣的には高能率と思考される故に、兩接續の優劣は遠かに定め難いので、實際に兩方に就て短絡試験を行ひ、これを基礎とし操業に關係ある諸量を求めて比較して見た。短絡試験の結線は、第 15 圖の如く、對向接續にも隣接々續にも、容易に切換へ得る如くした。一般に簡単な二次母線のみの場合は、豫め近似計算に依り數値を求めてても、大差はないが、本爐の如く相當大電流で、鐵鋼材と複雑なる關係配置にあるものは、實際に短絡試験を行ふのが最も正確な結果を與へるものである。



第 16 圖 二階全景

a 二次切換開閉器 (接續方法決定前) b 電極 c 電極支柱 d 變壓器端子 e 二次母線



第 14 圖 電極接續方式

- A, B 對角接續
- C 隣接接續

尚二次電圧（爐電圧）の決定は、操業に大なる影響を及ぼし、同一電力に對しても電圧の相違により出銅量が著しく變化する故、50V より 100V タップの内 50V, 80V, 100V のタップに就て特性を求めた。特性の計算は、爐の負荷を R_a なる抵抗の可變抵抗負荷とし、電極迄を含めた回路の抵抗を R_b 、リアクタンスを X として電源電圧を E として次の關係式より諸量を求めた。

完全短絡力率角	$\theta_s = \tan^{-1}(X/R_b)$
短絡電流	$I_s = (E/X)\sin\theta_s$
電弧電流	$I = (E/X)\sin\theta$
力 率	$\cos\theta = \sqrt{1 - (IX/E)^2}$
電弧電圧	$E_a = IR_a = Esin(\theta_s - \theta)/\sin\theta_s$
所要電力	$P = 3(E^2/X)\sin\theta \cdot \cos\theta$
最大所要電力	$P_m = (3/2) \cdot (E^2/X)$
P_m を與へる電流	$I_{Pm} = (1/\sqrt{2}) \cdot (E/X)$
電弧電力	$Q = 3(E^2/X) \{ \sin\theta \cdot \sin(\theta_s - \theta) / \sin\theta_s \}$
最大電弧電力	$Q_m = (3/2) \cdot (E^2/X) \cdot \tan\theta_s / 2$
Q_m を與へる電流	$I_{Qm} = (E/X)\sin\theta_s / 2$

短絡試験により R_b , X を求むれば、與へられたる電源電圧に對し諸量を計算する事が出来る。第 16 圖、第 17 圖は短絡試験の模様で對向、隣接々續切換開閉器が見えてゐる。短絡試験の結果次の如き特性を得た。

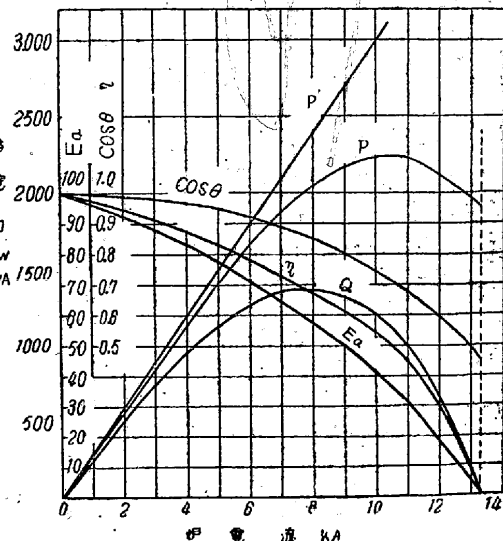
1. 對向接續の場合

短絡試験により變壓器を含まざる回路抵抗及びリアクタンスの値として

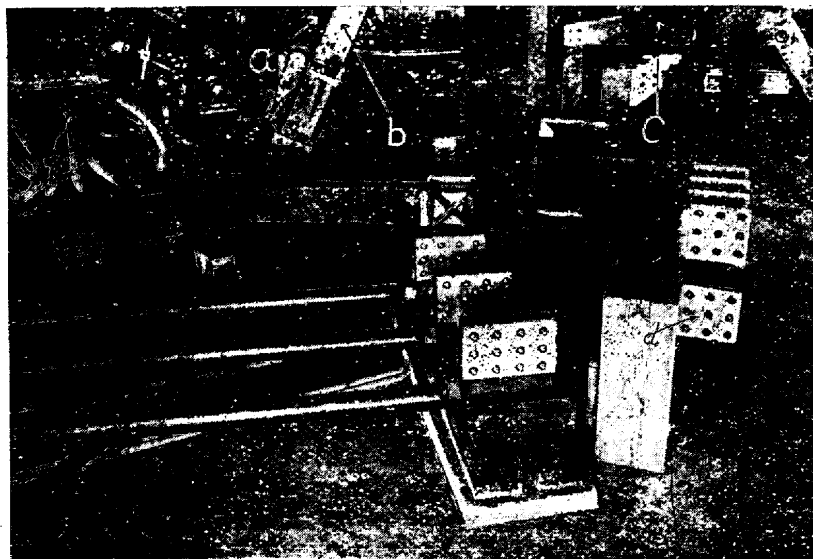
$$\text{回路抵抗 } R_b' = 3369.5 \mu\Omega$$

$$\text{回路リアクタンス } X = 6325.2 \mu\Omega$$

を得た。變壓器の抵抗及びリアクタンスの實測結果は第1表

第 18 圖 對向接續に於ける電氣的特性
(100V タップの場合)

E_a 電弧電圧 V η 能率 P 所要電力 $\cos\theta$ 力率
 Q 電弧電力 P' 見掛電力



第17圖 二次母線

a 電極 b 電極支柱 c 二次切換開閉器 (接続方法決定前)
d 變圧器端子 e 二次母線

第1表 爐用變圧器の固有抵抗及固有リアクタンス

タップ V	50	60	70	80	90	100
固有抵抗 $\mu\Omega$	31.1	35.8	40.9	47.8	50.4	56.9
固有リアクタ ンス $\mu\Omega$	297	334	380	426	471	521

第2表 対向接續に於ける回路固有抵抗リアクタンス
及完全短絡力率角

タップ V	50	60	70	80	90	100
$R_b \mu\Omega$	3401	3405	3410	3417	3420	3426
$X \mu\Omega$	6510	6547	6593	6639	6684	6734
θ_s	62°24'	62°28'	62°35'	62°42'	62°50'	63°05'

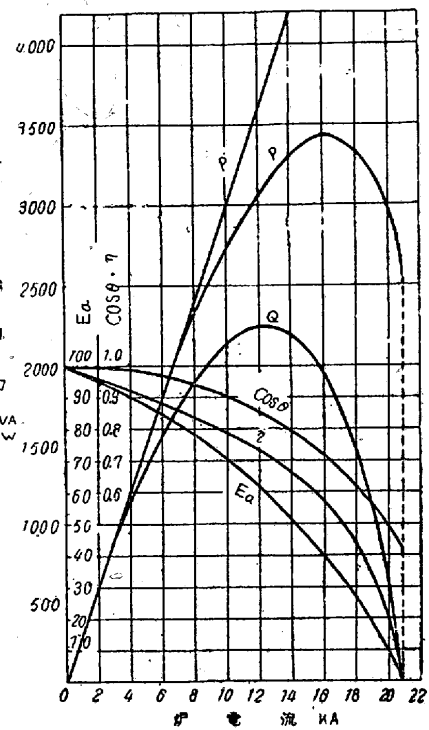
第3表 対向接續に於ける電氣的特性主要數値

タップ V	50	80	100
回路固有抵抗 $R_b \mu\Omega$	3401	3417	3426
回路固有リアクタンス $X \mu\Omega$	6510	6639	6734
完全短絡力率角 θ_s	62°24'	62°42'	63°05'
完全短絡電流 I_s	6819	1 0705	1 3230
最大所要電力 P_m kW	576.5	1443	2230
P_m を與へる電流 I_{Pm} A	5437	8525	1 0500
最大電弧電力 Q_m kW	349.5	877.5	1365
Q_m を與へる電流 I_{Qm} A	3982	6278	7765

の如くであつた。従つて爐回路全體の抵抗 R_b 、リアクタンス X 並に完全短絡力率角 θ_s は第2表の如くなる。次に各タップの場合の二三の諸量を摘記すれば第3表の如くなる。
100V タップの場合の特性曲線は第18圖の如くである。

2. 隣接接續の場合

前記同様短絡試験の結果より

第19圖 隣接接續に於ける電氣的特性
(100V タップの場合)

E_a 電弧電壓 V (電極端間の電壓) P 所要電力
 $\cos\theta$ 力率 Q 電弧電力 P' 見掛電力 η 能率

回路抵抗 $R_b' = 1885.6 \mu\Omega$

回路リアクタンス $X' = 3850.2 \mu\Omega$

を得、これに變壓器の値を加へた爐全體の抵抗、リアクタンス、完全短絡力率角は第4表の如く、又各タップに於ける主要數値は第5表の如くなる。第19圖は 100V タップの場合の特性回線である。

第4表 隣接接續に於ける回路固有抵抗
リアクタンス及完全短絡力率角

タップ V	50	60	70	80	90	100
$R_b \mu\Omega$	1916.7	1921.5	1926.5	1934.4	1936.0	1942.5
$X \mu\Omega$	4147.2	4184.2	4230.2	4276.2	4321.2	4371.2
θ_s	65°12'	65°20'	65°31'	65°40'	65°52'	66°03'

第5表 隣接接續に於ける電氣的特性主要數値

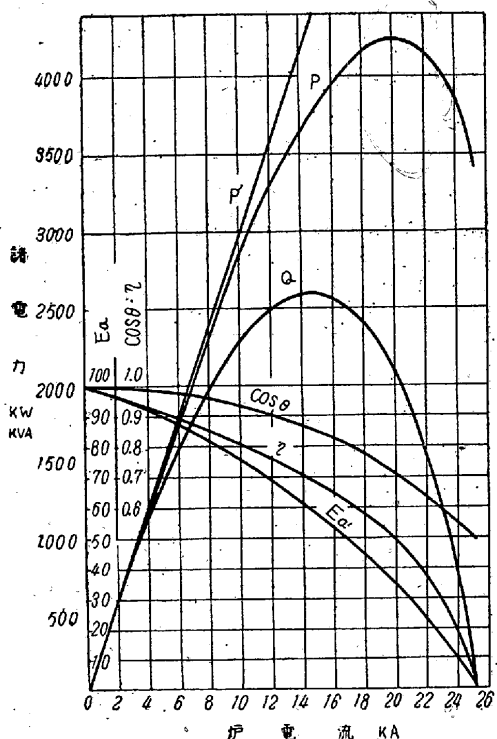
タップ V	50	80	100
回路固有抵抗 $R_b \mu\Omega$	1916.7	1934.4	1942.5
回路固有リアクタンス $X \mu\Omega$	4147.2	4276.2	4371.2
完全短絡力率角 θ_s	65°12'	65°40'	66°03'
完全短絡電流 I_s A	1 0946	1 8705	2 0905
最大所要電力 P_m kW	904.2	2244.6	3431.4
P_m を與へる電流 I_{Pm} A	8525.2	1 3226	1 6176
最大電弧電力 Q_m kW	578.3	1448.4	2232.6
Q_m を與へる電流 I_{Qm} A	6495.6	1 0142	1 2465

3. 1. 2. の結果から明かなる如く、隣接接續は、對向接續に比し、遙かに優秀なる電氣的特性を有し、例へば 100V に就て比較するに爐電流 7000A の場合對向接續では電弧電力 1350kW、力率 88% なるに對し、隣接接續

では、電弧電力 1720kW 力率 95.5% 又電流 1 0000 A の場合對向では 1200kW, 73.5%, 隣接では 2130kW, 90% である。更に爐電流 13230 A で、對向接續の電弧電力は零となるに、隣接々續では、2230kW である。これは實際操業により計器による所要電力（實效電力）の指示と、特性曲線に於ける所要電力と合致したので、上記特性は實際操業の指針となし得る。又實際操業上對向接續とした場合も電流は對角線状には殆ど流れず、大部分は 6 本の電極を結ぶ正六角形の邊に沿つて流れ、孰れの結線を用ひても、冶金的熱的には殆ど差異がない。故に電氣的に遙かに優秀な隣接々續を採用する事とし、對角接續に使用した銅帶、銅管等を除去し、更に比較のため設置した切換開閉器も除去し、試験前の隣接々續よりも更に抵抗、リアクタンスを減少せる隣接々續を使用するやうにした。この改造後の主要特性は、第 6 表の如くである。

第 6 表 本接續（改造隣接接續）に於ける電氣的特性主要數値

タップ V	50	80	100
回路固有抵抗 $R_b \mu\Omega$	1870	1888	1896
回路固有リアクタンス $X \mu\Omega$	3332	3452	3546
完全短絡率角 θ_s	60°37'	61°20'	63°06'
完全短絡電流 $I_s A$	1 3095	2 0280	2 5135
最大所要電力 $P_m kW$	1129	2781	4230
P_m を與へる電流 $I_{pm} A$	1 0607	1 6368	1 9931
最大電弧電力 $Q_m kW$	658.9	1682	2595
Q_m を與へる電流 $I_{qm} A$	7581	1 1821	1 4745



第 20 図 本接續（改造隣接接續）に於ける電氣的特性

E_a 電弧電圧 P 所要電力 Q 電弧電力
 η 能率 $\cos\theta$ 力率 P' 見掛電力

第 7 表 高電圧タップに於ける電氣的特性主要數値

タップ V	120	140	160
回路固有抵抗 $R_b \mu\Omega$	1982	2003	2030
回路固有リアクタンス $X \mu\Omega$	4361	4545	4729
完全短絡率角 θ_s	65°34'	66°13'	66°48'
完全短絡電流 $I_s A$	2 5060	2 8190	3 1090
最大所要電力 $P_m kW$	4950	6468	8121
最大電弧電力 $Q_m kW$	3188	4218	5355

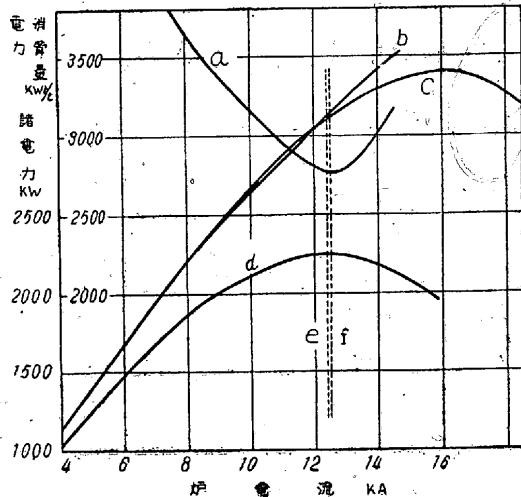
尙變壓器二次端子接續變更による高電圧に於ける特性を第 7 表に示す。この内 100V タップの特性曲線を第 20 圖に示す。上記の諸特性中電弧電圧は一相の負荷電圧の意味であり、實際の電極一本の電弧電圧の約二倍の電圧を表はす。

4. 以上は各相完全に平衡した場合の電氣的特性であるが、實際操業の場合は、母線の抵抗も爐室の溫度上昇に従ひ増加し、又操業の都合により相間の不平衡を避け得ぬ場合等もあり、實際は上記特性曲線を多少上下した幅のある

第 8 表 操業實績と電氣的特性との對照

使用電圧 V	操業記録より				操業實績	
	1 日平均 1 相電力 kW	1 日平均負荷電力 kW	負荷電力 (所要電力) kW	電弧電力 kW	1 日出銑量 t	t 當電力消費量 kWb/t
100	8042	2220	2250	1890	14,800	3600
	9064	2600	2500	2030	18,180	3300
	1 0027	2677	2710	2130	19,710	3260
	1 1 1120	2871	2910	2200	23,600	2920
	1 2054	3074	3060	2240	25,530	2780
	1 3018	3320	3200	2240	29,400	2790*
	1 3920	3466	3310	2200	27,720	3000
	7016	1566	1560	1300	10,440	3600
	8060	1760	1730	1380	13,980	3020
	9001	1987	1890	1420	17,660	2710
80	1 0105	2158	2040	1440	19,250	2690**
	1 1027	2249	2140	1420	19,070	2830
	1 1961	2440	2200	1380	18,530	3160
	1 3022	2531	2240	1260	17,810	3410

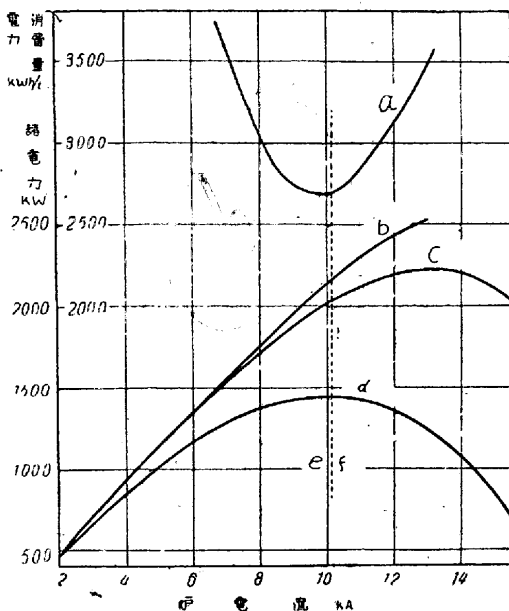
備考 * 最高出銑量 ** 最高出銑量



第 21 圖 操業實績と電氣的特性との關係

(100V タップの場合)

a t 當り電力消費量 b 平均負荷電力 c 所要電力
d 電弧電力 e 最高電弧電力 f 最高出銑量



第22圖 操業實績と電氣的特性との關係
(80V タップの場合)

a t 當り電力消費量 b 平均負荷電力 c 所要電力
d 電弧電力 e 最高電弧電力 f 最高出銑量

範囲内にあると考へられる。

而してこれが實際運転に對する應用如何を調べた結果、第8表に示す如く、最大出銑量を得るには、如何なる電流を選ぶべきかの指針になる事が明かとなつた。即ちこれを第21圖及び第22圖で見るに、最低t當電力消費量、即ち最高能率を與へる電流値は、上記計算に依り求めた最大電弧電力を與へる電流値と略一致してゐる。但し實際使用に當つては、各種條件が常に變動する故、最高能率を出す電流値も相當増減する事を、考慮に入れて置かねばならぬ。

V. 操業實績

改良型電氣高爐の操業實績の概要を示せば次の通りである。

1. 原 料

硫酸滓の原鐵は、主として岡山縣柵原產黃鐵鎳を用ひてゐるが、硫酸滓の分析結果を示せば第9表の如くである。これより明かなる如く、鐵分は可成り高く珪酸分、磷分は

第9表 硫酸滓分析結果一例 %

	Fe	SiO ₂	Al ₂ O ₃	CaO	MgO	MnO	P	S	Cu
昭和15年	60.5	5.12	1.58	0.51	0.13	0.35	0.02	3.370	0.36
某月上旬	62.2	5.76	1.34	0.40	0.14	0.52	0.012	2.491	0.15
某月中旬	58.2	8.32	2.13	0.23	0.70	0.09	0.018	1.496	0.33
某月下旬	60.3	6.40	1.68	0.38	0.32	0.32	0.017	2.452	0.28
平均									

比較的少い。一般に硫酸滓は銅の含有量多く 0.5% に及ぶ

第10表 焼結分析結果一例 %

	Fe	SiO ₂	Al ₂ O ₃	CaO	MgO	MnO	P	S	Cu
昭和15年	61.6	8.58	2.50	0.34	0.08	0.26	0.030	0.074	0.41
某月上旬	62.2	8.40	2.57	0.29	0.12	0.26	0.025	0.054	0.39
某月中旬	64.6	7.06	2.27	0.23	0.30	0.09	0.027	0.132	0.35
平均	62.8	8.01	2.45	0.28	0.16	0.16	0.027	0.086	0.38

ものあるも、これは割合に少い。これを燒結爐で燒結した後の分析結果は第10表の如くである。表で判る様に、燒結による鐵分增加は2% 内外である。

第11表 木炭分析結果一例 %

水 分	揮發分	固定炭素	灰 分	灰分百分比	中磷
4.22	10.15	82.86	2.77	1.520	
4.32	8.29	86.22	1.17	1.195	
3.02	5.11	90.37	1.50	1.070	

還元剤の木炭は、市販の松炭を使用し、その代表的な分析結果は第11表の如くである。脱硫は完全に行はれてゐる。

尙爐内ガスの組成の數例を第12表に示した。發熱量は

第12表 爐内ガス組成例 %

CO ₂	O ₂	CO	CH ₄	H ₂	N ₂
9.4	.2	68.4	3.6	6.4	12.0
5.8	.4	65.8	5.3	5.8	16.9
10.0	—	68.0	6.8	4.0	11.2
7.4	—	62.6	6.0	10.0	14.0
9.4	—	62.6	9.4	3.6	14.9

2500kcal/m³ 見當で、有力な熱源となり、現に硫酸滓の燒結に使用してゐるが、化學成品の原料ともなり得るものである。

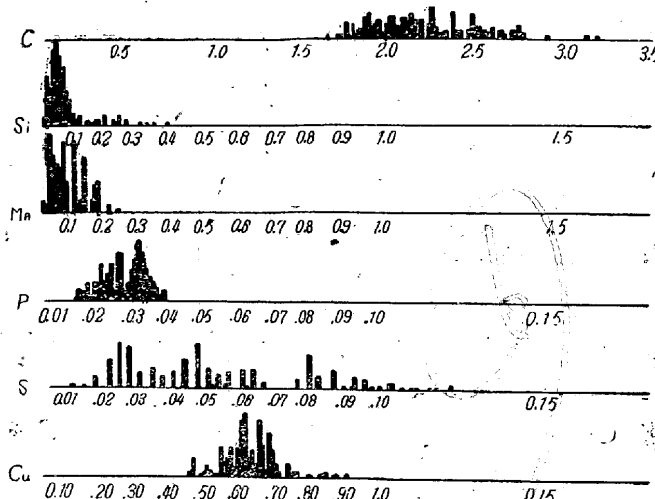
第13表 製品電氣銑分析例 %

番號	C	Si	Mn	P	S	Cu
1138	2.51	0.06	0.21	0.015	0.072	0.57
1139	2.07	0.08	0.17	0.014	0.089	0.60
1140	2.79	0.08	0.11	0.010	0.063	0.60
1141	2.25	0.11	0.30	0.020	0.063	0.59
1142	2.27	0.13	0.27	0.016	0.054	0.60

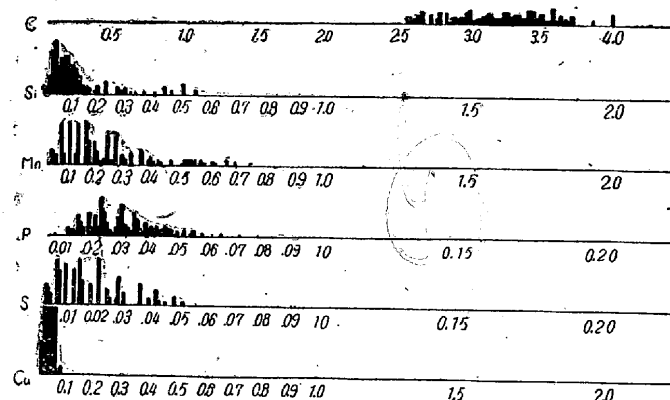
2. 製 品

製品銑鐵の分析結果の一例を第13表に示す。C 及び Si は極めて低く、從つて鎔銑の流れは悪く、出銑作業は相當困難であるが、電氣製銅用としては好適である。磷は 0.02% 以下で低磷銑の規格の中に入る。銅の含有量は相當少いが屑鐵に較ぶれば尚多い。銅は製銅後壓延に於て龜裂を生ずる原因となると考へられてゐたが、ニッケルを含む特殊銅に於て、ニッケルの含有量が銅より多ければ、この障害は除かれ、却て品質は良くなると言はれる。

参考として製品銑鐵の化學成分の圖表を第23圖、第24圖に示す。



第 23 圖 製品電氣銑化學成分例
燒結鐵を原料とする低磷銑鐵成分
出銑番號 第 2179~2317
熔解期間 16-11-21~17-1-20 出銑量 1391.140t



第 24 圖 製品電氣銑化學成分例
利根磁鐵鑄を原料とする低磷銑鐵の成分
出銑番號 第 2560~2633, 第 1058~2058
熔解期間 17-4-11~17-5-5, 16-9-17~16-10-16
出銑量 1129.140t

第 14 表 操業成績一例

年 旬 別 昭和 年 月	原 料 使 用 高						年 旬 別 昭和 年 月	年 旬 別 懈 嘗 原 料 使 用 高					
	燒結鐵 t	マンガ ン鑄 t	木炭 t	石灰石 t	電 力 kWh	電 流 t		燒結鐵 t	マンガ ン鑄 t	木炭 t	石灰石 t	電 力 kWh	電極 t
16-1 中旬	383.430	9.195	96.105	69.745	59 3500	2.803	241.320	1.588	0.038	0.398	0.299	2455	11.6
16-1 下旬	364.170	9.075	88.800	67.770	56 9900	2.303	216.250	1.685	0.042	0.410	0.313	2630	10.7
16-2 上旬	383.120	9.525	88.765	76.210	60 9300	1.866	231.530	1.654	0.041	0.383	0.329	2630	8.1
計	1130.720	27.795	273.670	213.725	177 2700	6.972	689.200	1.641	0.040	0.397	0.310	2572	10.1

第 15 表 操業成績一例（操業開始當初の例）

年 別 月 別 昭和 年 月	原 料 使 用 高						年 別 月 別 昭和 年 月	懸 嘗 原 料 使 用 高						
	燒結鐵 t	マンガ ン鑄 t	木炭 t	石灰石 t	電 力 kWh	電極 t		燒結鐵 t	マンガ ン鑄 t	木炭 t	石灰石 t	電 力 kWh	電極 t	
14-6 計(1)	279.000	28.760	78.825	53.756	65 4800	6.631	166.249	14-6 平均	1.687	0.172	0.474	0.324	3940	39
14-7 計	547.000	36.910	124.665	103.790	108 1000	8.251	306.870	14-7 平均	1.787	0.120	0.407	0.340	3525	29
14-10 計	361.000	9.970	98.130	52.440	84 6700	5.998	220.595	14-11 平均	1.640	0.045	0.445	0.237	3840	27
14-11 計	277.000	5.390	74.685	41.370	64 9700	4.351	163.310	14-11 平均	1.697	0.033	0.488	0.253	3980	26
14-12 計(2)	206.606	2.945	49.195	50.405	63 8100	3.984	123.680	14-12 平均	1.667	0.023	0.397	0.407	5170	32
15-4 計	886.580	15.590	206.696	125.123	179 8300	6.669	536.687	15-4 平均	1.657	0.029	0.385	0.233	3350	12
15-5 計	908.000	13.874	213.541	139.530	183 3200	9.343	533.683	15-5 平均	1.703	0.025	0.401	0.262	3440	17.6
15-6 計	1138.000	21.930	273.3655	169.090	214 1300	7.119	700.250	15-6 平均	1.626	0.031	0.390	0.242	3060	10.1
15-7 計	819.000	20.470	195.247	127.690	168 0085	9.152	533.280	15-7 平均	1.536	0.036	0.366	0.238	3155	17.1
15-8 計	793.850	19.825	188.405	123.220	173 8800	13.661	459.280	15-8 平均	1.727	0.043	0.410	0.268	3790	29.7
15-9 計	731.340	18.120	177.219	110.125	154 1400	11.971	435.200	15-9 平均	1.680	0.041	0.407	0.252	3540	27.5

1) 中下旬の 20 間の計 2) 上中旬の 20 間の計



第 25 圖 出湯 狀 況

3. 製造成績

最近の操業の原料使用高, t 當原料使用高及び出銑量を示せば第 14 表の如くで, t 當りの電力消費量 2572kWh, 電極消費量 10.1kg, 一ヶ月出銑量 689.2t といふ好成績を示してゐる。

然し昭和 14 年の操業開始の頃は、全く新しい試みで不慣れの爲、色々の失敗、故障を重ね、相當悲惨な成績であった。昭和 14 年 6, 7, 10, 11, 12 月及び 15 年 4~9 月迄の操業成績を示せば、第 15 表の如くである。即ち t 當りの電力消費量は、3900kWh 以上から

勤 勤
臺 夜

昭和 17 年 1 月 14 日 水曜日

昭和 17 年 1 月下旬 第 17 表 報 告

出銑	番號	原 料	入量 t	銑 鍛 成 分						規 格						電 極 消 費 量 kg/t	停電 時間 h	使用電力 kWh	電力當量 kWh/t		
				C	Si	Mn	P	S	Cu	Al ₂ O ₃	CaO	MgO	FeO	MnO	P	S					
11 2320	3 9900	燒結鐵 マンガ ン鑄	木 炭	石灰石 長城 粘土	1.93	0.09	0.13	0.028	0.059	0.64	10.900	17.450	34.76	12.25	32.40	3.68	9.60	1.52	0.020	0.120	
11 2330	3 9900	285	1 1045	9690	1462	1995	2.00	0.05	0.03	0.030	0.111	0.67	6.550						18	3800	3660
12 2331	3 9200	280	1 1430	4520	1400	1990	2.10	0.06	0.05	0.024	0.078	0.72	6.420						55	6 1900	3735
12 2332	3 9200	280	1 1430	4520	1400	1990	1.89	0.05	0.03	0.024	0.078	0.74	3.960						10		
12 2333	3 7100	295	1 1265	4010	1325	1865	2.50	0.05	0.03	0.023	0.078	0.72	3.350						44		
13 2334	3 7100	295	1 1265	4010	1325	2.36	0.04	痕跡	痕跡	0.030	0.033	0.64	8.230						15	6 5100	2020
13 2335	3 7100	295	1 1265	4010	1325	2.11	0.04	0.03	0.023	0.062	0.67	12.370						5			
14 2336	4 1300	265	1 2658	1 0030	1475	2035	1.84	0.04	0.03	0.028	0.065	0.69	12.300						22		
14 2337	4 1300	265	1 2658	1 0030	1475	2035	2.25	0.04	0.02	0.024	0.078	0.68	7.730						1	13	6 5000
15 2338	3 7100	260	1 0895	9010	1325	1856	1.93	0.06	0.08	0.017	0.062	0.68	10.450						1	13	2015
15 2339	3 7100	260	1 0895	9010	1325	1856	2.40	0.06	0.03	0.030	0.008	0.59	8.390						22		
16 2340	3 5000	250	1 0250	9000	1260	1750	2.56	0.07	0.05	0.033	0.111	0.65	8.370						10	6 0100	3190
16 2341	3 5000	250	1 0250	9000	1260	1750	2.25	0.06	0.03	0.023	0.078	0.81	9.980						0		
16 2342	3 5000	250	1 0250	9000	1260	1750	1.95	0.05	0.03	0.017	0.059	0.72	11.600						4	01	
16 2343	3 5000	250	1 0250	9000	1260	1750	2.25	0.02	0.05	0.011	0.114	0.64	5.430						2	43	5 7900
17 2344	4 0600	290	1 2630	1 0440	1450	2030	2.30	0.03	0.03	0.030	0.094	0.67	7.270						10	1934	
17 2345	4 0600	290	1 2630	1 0440	1450	2030	2.13	0.01	0.03	0.021	0.101	0.67	8.900						10		
17 2346	4 0600	290	1 2630	1 0440	1450	2030	2.35	0.11	0.02	0.021	0.055	0.67	15.070						17		
17 2347	4 0600	290	1 2630	1 0440	1450	1890	1.91	0.00	0.03	0.030	0.059	0.63	13.900						44		
17 2348	4 0600	290	1 2630	1 0440	1450	2030	2.04	0.00	0.03	0.021	0.114	0.63	32.400						7		
18 2349	3 7800	270	1 1615	4850	1350	1890	2.35	0.11	0.02	0.021	0.055	0.67	15.070						19		
18 2350	3 7800	270	1 1615	4850	1350	1890	2.04	0.00	0.03	0.021	0.114	0.63	34.433						15		
18 2351	3 7800	270	1 1615	4850	1350	1890	3.52	0.03	0.07	0.030	0.008	0.67	9.400						10		
19 2352	3 4300	245	1 0560	9065	1225	1715	3.02	0.09	0.08	0.024	0.081	0.70	6.420						7		
19 2353	3 4300	245	1 0560	9065	1225	1715	2.86	0.04	0.08	0.030	0.117	0.73	6.400						38	6 3600	2800
19 2354	3 4300	245	1 0560	9065	1225	1715	35.96	11.65	42.40	4.15	4.16	1.53	0.043						3		
20 2355	3 2200	230	4235	8510	1150	1610	2.38	0.08	0.15	0.030	0.046	0.64	8.500						57		
20 2356	3 2200	230	4235	8510	1150	1610	2.03	0.16	0.20	0.030	0.036	0.64	9.140						21	6 1300	3479
20 2357	3 2200	230	4235	8510	1150	1610	17.640	35.14	11.50	41.80	5.05	4.88	1.27	0.04				7			
計	t	37 4500	2675	11 15109	41251	33751	8725												15	42	63 7900
		1597	11 475	4011	57	79													10.9		2716

括總月本

品 名	旬 別	遷 元 劑			造 灰 石			粘 土			電 極			出銑量 t
		鐵 礦 石	燒 結 鐵 t	計 t	木 炭	小 粉 t	計 t	石灰 石	粘 土 t	電 極 t	電 力 kWh	kg	kg	
上旬	計	388.500	2.775	388.500	108.125	1.120	109.245	94.530	13.875	19.525	5706	63	3600	226.050
中旬	計	450.100	3.215	450.100	129.665	0.480	130.146	109.180	16.075	22.405	4398	70	4500	275.840
下旬	計	374.500	2.675	374.500	111.510	0	111.510	94.125	13.375	18.725	2555	63	7900	234.400
月 總	累 計	1213.100	8.665	349.300	1.600		350.900	297.835	43.325	60.655	1.2659	197	6000	736.290
上旬	當	1.718	0.012	0.478	4.915	0.483	0.418	0.061	0.080	0.080	25.2		2800	
中旬	當	1.641	0.011	0.471	1.7	0.472	0.396	0.058	0.081	0.081	15.8		2552	
下旬	當	1.597	0.011	0.475	0	0.475	0.401	0.057	0.079	0.079	10.9		2716	
月平均	當	1.649	0.011	0.475	2.1	0.476	0.404	0.059	0.081	0.081	17.2		2685	

2,500 kWh 迄低減し得たので、この間の進歩の跡は實に目覺しいものがある。

参考として第 16 表及び第 17 表に操業日報並に旬報、月報の一例を示した。第 25 圖は出湯の實況である。

本爐による電氣爐銑を使用して製鋼試験を行つた。その結果は別の機會に報告する。

終りに臨み本論文發表の自由を許されたる大同製鋼株式會社社長下出義雄氏に謝意を表し、尙研究に際し終始御鞭撻、御助言或は御助力を賜はりたる副社長川崎舍恒三博士、技師錦織清治博士、清水定吉博士、野田浩氏、他從業員並に矢作製鐵株式會社岡本孝氏、他從業員に對し厚く御禮申し上ぐる次第なり。

ON THE DESIGN AND OPERATION OF A NOVEL TYPE ELECTRIC HIGH FURNACE FOR IRON MANUFACTURE

Tatuo Hayasi

SYNOPSIS:—In Japan where the caking coal is lacking, the method of electric iron manufacture consuming cokes less than 400 kg per ton pig plays an important role in enhancing the production of iron. However, the construction and operation of electric high furnace (Elektrohochofen) for iron manufacture has all turned out in failure in the past years here. The cause of the failure seems to be the fact that the design of the furnace has depended on the foreign invention. In answer to such state of matters, the author designed and constructed an electric furnace the most suitable for the present Japan. The present paper dealt with the process of its development. Several points of improvement in the electrical, metallurgical and mechanical designs were described, the actual result of its operation demonstrated, and an optimum method suggested to attain to the maximum pig production with an electric high furnace.

先頃より品切れであります日本鐵鋼標準試料下記二種出來ました。八月中旬頃より御分譲可能と存じますが荷造材料拂底であり又手不足であります御送達はいたしませんから幸便又は當地の支社支店出張所等を通じて御買取りを願ひますどうぞ御諒承下さい。

第九號 (a) 高速度鋼

分析成分	炭素 C %	珪素 Si %	マンガン Mn %	磷 P %	硫黄 S %	銅 Cu %	ニッケル Ni %	クロム Cr %	タンゲス テン W %	コバルト Co %	ワナデ ウム V %	モリブ デン Mo %
標準値	0.63	0.098	0.078	0.014	0.025	0.14	0.11	3.87	19.40	0.66	0.63	0.38

第十號 (a) ニッケルクロム鋼

分析成分	炭素 C %	珪素 Si %	マンガン Mn %	磷 P %	硫黄 S %	銅 Cu %	ニッケル Ni %	クロム Cr %
標準値	0.30	0.21	0.45	0.012	0.010	0.16	2.86	0.78